

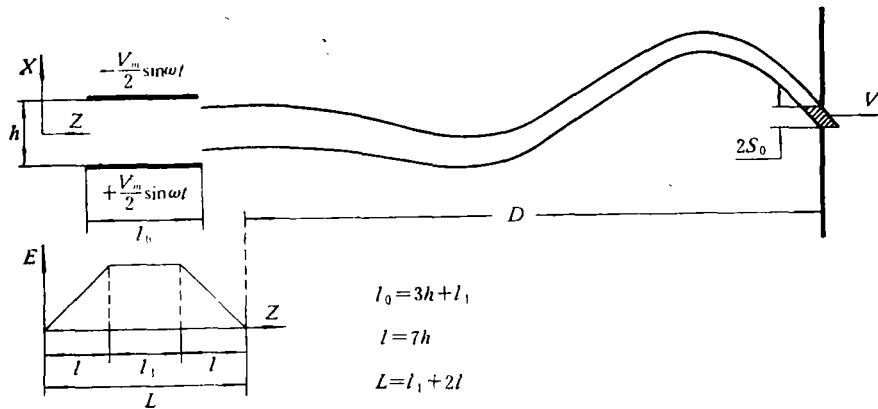
离子在射频扫描切割器中的运动

陈佳洱
(北京大学)

摘 要

本文推导了具有边缘场的射频扫描切割器中束流包络线的表述式,在此基础上给出了“魔相”的解析关系式及有关的数例,对消除脉冲束轴倾斜的方法进行了讨论。

射频扫描切割器(如图)是获取脉冲化离子束的重要器件之一。关于离子在射频切割器中的运动,Turner^[1]曾就“硬边界”均匀场的情况给出了有关的表述式。不过,他的某些近似适用于快速的轻离子,对荷质比低、速度慢的重离子误差较大。近年来 Livingood^[2]考虑了扫描电极的边缘场分布,仔细地计算了离子的运动。他的处理方法比前者更切合实际,同时还第一次提出了存在着某种使脉冲束轴与几何轴重合的所谓“魔相”的概念。可惜文中所得的表述式十分繁复,运用不便;而且作者在推演中还遗弃了仅当边缘区很窄时才能忽略的一些项次,从而得出了一些误差较大的曲线和数据。我们改进了该文的不足,在保留全部项次下得到了一个新的简洁、严正的表述式。利用此式可十分方便地写出扫描离子束的瞬态包迹以及“魔相”条件的解析关系式等有趣结果。



射频扫描切割器及离子束在飘移空间中的瞬态包迹示意图

考虑到场的边缘效应,我们以梯形分布的有效电场逼近实际电场^[2],梯形顶点伸入实际电极区 $1.5h$,梯形斜边延伸 $7h$ 。此时扫描电场可写为:

本文 1979 年 1 月 19 日收到。

$$\begin{cases} E_1 = \frac{V_m}{h} \cdot \frac{Z}{l} \cdot \sin \omega \left(t_0 + \frac{Z}{v} \right), & 0 \leq Z \leq l \\ E_2 = \frac{V_m}{h} \cdot \sin \omega \left(t_0 + \frac{Z}{v} \right), & l \leq Z \leq l + l_1 \\ E_3 = \frac{V_m}{h} \cdot \left[1 - \frac{Z - (l + l_1)}{l} \right] \sin \omega \left(t_0 + \frac{Z}{v} \right), & l + l_1 \leq Z \leq L \\ E_4 = 0, & L \leq Z \end{cases} \quad (1)$$

式中 V_m 和 h 分别是扫描电压幅值和扫描极电隙; t_0 是离子进入电场(即 $Z = 0$)的时间; ω 是射频电场的角频率; v 是离子的轴向速度,束流满足傍轴条件时 $v = \text{常数}$; l 、 l_1 及 L 参见图.

由解横向运动方程 $\frac{d^2x}{dZ^2} = \frac{Q}{mv^2}E$ (Q 和 m 分别是离子的电荷和质量), 并恰当整理所得结果后可将飘移段中离子的运动状态写为:

$$\begin{cases} x = x_0 + x'_0 Z + A \cdot \left(Z - \frac{L}{2} \right) \cdot K \cdot T_F \cdot \sin \left[\omega \left(t_0 + \frac{L}{2v} \right) - \delta(Z) \right], \\ x' = x'_0 + A \cdot T_F \cdot \sin \omega \left(t_0 + \frac{L}{2v} \right). \end{cases} \quad Z \geq L \quad (2)$$

式中 x_0, x'_0 是离子进入电场时横向的初始位置和散角; $A = \frac{V_m(l + l_1)}{2V_0h}$, 其中 $Q \cdot V_0$ 是离子的初始动能; 渡越因子

$$T_F = \left(\frac{\sin \frac{\omega l}{2v}}{\frac{\omega l}{2v}} \right) \cdot \left(\frac{\sin \frac{\omega(l + l_1)}{2v}}{\frac{\omega(l + l_1)}{2v}} \right);$$

系数 $K = [1 + \tan^2 \delta(Z)]^{1/2}$; 相角

$$\begin{aligned} \delta(Z) = \tan^{-1} \left\{ \frac{v}{\omega \left(Z - \frac{L}{2} \right)} \left[\left(1 - \frac{\omega(l + l_1)}{2v} \cdot \cot \frac{\omega(l + l_1)}{2v} \right) \right. \right. \\ \left. \left. + \left(1 - \frac{\omega l}{2v} \cdot \cot \frac{\omega l}{2v} \right) \right] \right\}. \end{aligned}$$

式(2)表明,对于傍轴束,扫描电场的作用仅仅在于使束轴发生周期性波动. 由此,如进一步假定无扫描电场时束的‘腰位’在 Z_a 处,腰的宽度为 $2a$,特征长度为 λ_0 ^[3],并注意在 t_0 时刻进入电场的离子,行进至 Z 处的时间为 t , $t = t_0 + \frac{Z}{v}$,则离子束在飘移空间区中的瞬态包迹为

$$\begin{aligned} X = \pm a \left[1 + \left(\frac{Z - Z_a}{\lambda_0} \right)^2 \right]^{1/2} + A \cdot \left(Z - \frac{L}{2} \right) \cdot K \cdot T_F \\ \cdot \sin \left[\omega \left(t - \frac{Z}{v} \right) + \frac{\omega L}{2v} - \delta(Z) \right]. \end{aligned} \quad (3)$$

式中第一项取“+”值时, $X_{(+)}$ 表示束流外廓的上边界,“−”值表下边界.

利用(3)式容易求得切割器出口处的束流脉冲宽度. 试考察一个自下而上扫动的束

通过 $Z = (D + L)$ 处的一个宽度等于 $2S_0$ 的狭缝的过程: $t = t_i$ 时束流包迹上界 $X_{(+)} = -S_0$, 于是束流开始通过狭缝; 此后 $t = t_c$ 时, $X_{(+)} = a \left[1 + \frac{(D + L - Z_a)^2}{\lambda_0^2} \right]^{1/2}$, 束心与几何轴重合; $t = t_f$ 时, 束流包迹下边界 $X_{(-)} = S_0$, 于是束流全部截止. 因此, 束流的脉冲半宽度便为

$$\tau_c = \frac{1}{\omega} \sin^{-1} \frac{b}{A \cdot K \cdot |T_F| \cdot \left(D + \frac{L}{2} \right)}. \quad (4)$$

式中 $b = s_0 + a \left[1 + \frac{(D + L - Z_a)^2}{\lambda_0^2} \right]^{1/2}$; $\tau_c = t_c - t_i = t_f - t_c$;

$$t_c = \frac{\left(D + \frac{L}{2} \right)}{\nu} + \frac{\delta(D + L)}{\omega}.$$

如果不考虑边缘场, 即令 $l = 0$, 且离子速度足够高使 $\tan \frac{\omega l_1}{2\nu} \approx \frac{\omega l_1}{2\nu}$, $K \approx 1$, 则当 $\omega \tau_c \approx \sin \omega \tau_c$ 时, (4) 近似为

$$\tau_c \approx \left[\frac{m\nu b h}{QV_m} \right] \times \left[(2D + l_1) \sin \frac{\omega l_1}{2\nu} \right]^{-1}, \quad (5)$$

此即 Turner^[1] 所给出的近似公式.

值得注意的是一般情况下 (2) 式中 $\delta(Z) \neq 0$, 因而当束心通过狭缝中心 ($x = 0$) 时, 其轨道斜率将不为零. 这就是说由切割器得到的脉冲化束, 其束轴往往是倾斜的, 倾角为 α

$$\alpha = \tan^{-1} [A \cdot T_F \cdot \sin(n\pi + \delta(Z))], \quad (6)$$

离子束往上扫时, 式中 $n = 0, 2, 4, \dots$, 向下扫时 $n = 1, 3, 5, \dots$. 脉冲束轴的倾斜, 显然不利于束的输运. 克服这一困难的办法之一是使切割器具有 $\delta \equiv 0$ 的特性; 由式 (2), 这要求 l, l_1 满足关系式:

$$\frac{\omega(l + l_1)}{2\nu} \cdot \cot \frac{\omega(l + l_1)}{2\nu} + \frac{\omega l}{2\nu} \cdot \cot \frac{\omega l}{2\nu} = 2, \quad (7)$$

此即 Livingood 提出的所谓“魔相”所要求的条件, 不过这里我们可用简明的解析式表述而不必求助于数量众多的曲线. 表 1 上列举了几种典型场分布的“魔相”及其相应的渡越因子.

表上所列数据与文献[2]中相应的曲线或数例相比, 只有 $l = 0$, 即无边缘场时, 完全吻合. 其余的均有明显差异. 尤其是 $l_1 = 0$ 时二者基本不同. 这是由于文献[2]的作者遗弃了诸如 $\frac{\omega l}{\nu} \sin \frac{\omega l}{\nu}$, $\left(1 - \cos \frac{\omega l}{\nu} \right)$ 等只有在 $l \rightarrow 0$ 时才能忽略不计的项所致.

由表可见, 除 $l = l_1 = 0$ 之外, “魔相”所对应的渡越因子明显的小于 1, 且随“魔相”的增大迅速减小. 这表明, 倘若利用“魔相”条件使出射的脉冲化束合轴的话, 就必需以大幅度地增加扫描电压为代价. 另一方面如“魔相”条件不满足, 而离子在电场中的渡越角却不大, $\sin \frac{\omega(l + l_1)}{2\nu} \approx \frac{\omega(l + l_1)}{2\nu}$, 那么出射束的倾角

$$\alpha \simeq \frac{b}{8\nu\tau_c} \left[\frac{l^2 + (l + l_1)^2}{\left(D + l + \frac{l_1}{2}\right)^2} \right],$$

这表明出射束束轴的倾斜可因飘移距离 D 的增长而迅速减小到允许的范围之内。这个特点显然可以用来改善脉冲束的质量。

表 1

1. 无边场 $l = 0$		2. 梯形分布 $\frac{\omega l_1}{\nu} = \pi$		3. 梯形分布 $\frac{\omega l}{\nu} = \pi$		4. 三角形分布 $l_1 = 0$	
$\frac{\omega l_1}{\nu}$	T_F	$\frac{\omega l}{\nu}$	T_F	$\frac{\omega l_1}{\nu}$	T_F	$\frac{\omega l}{\nu}$	T_F
0	1	4.64403	-0.05518	5.407917	-0.13489	0	1
8.98682	-0.21723	7.46562	0.02338	12.0515	0.081042	8.98682	0.04719
15.4505	0.12838	10.9614	-0.01293	18.4838	-0.057895	15.4505	0.01648
21.8082	-0.091325	13.9079	0.008214	24.8488	0.045031	21.8082	0.008340
28.1324	0.070913	17.2560	-0.005681	31.1839	-0.036844	28.1324	0.005029

参 考 文 献

- [1] C. M. Turner, *R. S. I.*, **29**(1958), 480.
 [2] J. J. Livingood, *Particle Accelerators*, **7**(1976), 223.
 [3] A. P. Banford, *The Transport of Charged Particle Beams*, 1966. p. 24; E. F. N. Spon Ltd. London.

THE MOTION OF IONS IN RF ION BEAM CHOPPERS

CHEN JIA-ER

(Peking University)

ABSTRACT

A formula describing the ion beam envelope in RF choppers with fringing field is derived. An analytical expression for "Magic ϕ " and related examples are given. Methods for eliminating the inclination of the chopped beam are discussed.